

京都大学大学院 学生員 横田 哲也
 京都大学工学部 正員 白石 成人
 大成建設 正員 誠訪 正男

1. まえがき

吊橋や斜張橋といった可挠性に富む橋梁構造の耐風設計では、部材の疲労や使用性の面から比較的低風速で発生する渦励振が問題とされ、構造物の質量や構造減衰が渦励振応答特性に及ぼす影響の大きさことが指摘されながら、従来より渦励振防振対策にはフラップ・デフレクタ・フェアリング等によって断面の空力特性を改善する方法が一般的であった。ところが国内外において数々と建設されたあるPC斜張橋は、鋼斜張橋に比較し質量は増大し、また構造減衰についても増大するとの考え方もあり、これらが渦励振応答特性にもたらす影響を把握することが、今後PC斜張橋の耐風設計に重要になるものと思われる。そこで本研究では、PC斜張橋主桁断面を対象に、質量減衰パラメータが渦励振最大応答振幅に及ぼす影響を調べた。また今回対象とした断面は、PC斜張橋特有の非常に偏平なZ-B0X断面であり、他の構造形式にはみられない可変形状を有するため、空力的制振対策についても検討を加えた。

2. 実験概要

風洞実験には、Fig. 1に示す断面を基本断面とした二次元剛体模型を用い、曲げ・捩れ2自由度、迎角 $\alpha = -5^\circ$ 、一様流中で、応答振幅を測定した。木製およびメタクリル酸樹脂製の各種の模型を用いることにより質量を変化させるとともに、構造減衰の値を変化させ、これらが渦励振応答振幅に及ぼす影響を調べた。またFig. 2に示す各種アタッチメントを設置した場合の、渦励振効果についても比較検討を行なった。

3. 実験結果および考察

(1) 質量減衰パラメータによる応答特性の変化

Fig. 3は基本断面において質量減衰パラメータ $m/\rho D^3$ を変化させた場合の応答特性を示したものである。 $m/\rho D^3$ を変化せても、渦励振発現風速は $V_r = 10$ で一定であるのに對し、最大応答振幅は $m/\rho D^3$ の増加と共に減少する傾向にある。次に、渦励振を便宜上強制振動として取り扱った場合、(1)式で示される交番揚力係数 C_L と $m/\rho D^3$ の関係をFig. 4に示す。

$$C_L = 8\pi \left(\frac{m\delta}{\rho D^3} \right) \left(\frac{1}{V_r^2} \right) \left(\frac{\bar{D}}{B} \right) \left(\frac{l_{max}}{D} \right) \quad (1)$$

Fig. 4では、同一の断面形状を有するにもかかわらず、 $m/\rho D^3$ の変化によつて C_L は一定値とはならず、 $m/\rho D^3 < 50$ の範囲では $m/\rho D^3$ の増加と共に C_L も見かけ上増加する傾向にある。これは質量や減衰の増加による振幅の低減効果は、線形強制振動的に評価されるほど期待はできないこ

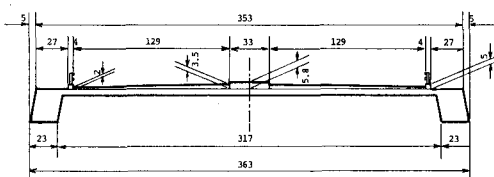


Fig. 1

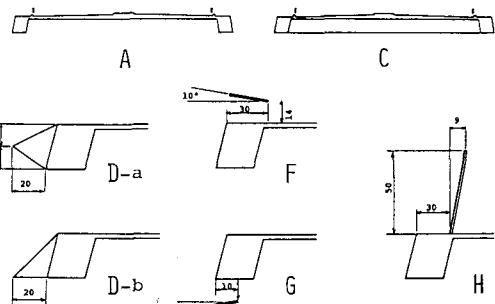


Fig. 2

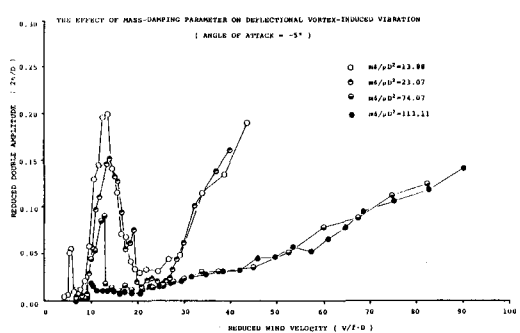


Fig. 3

とを示している。このように $m\delta/\rho D^2$ の変化とともに、見かけ上 C_L が変化するものは、作用空気力を左右する流れのパターンが、応答振幅 [%] に依存するためと考えられる。Fig. 5 は応答振幅と $m\delta/\rho D^2$ の関係を示した。破線は $m\delta/\rho D^2 = 13.8$ における C_L が、 $m\delta/\rho D^2$ によらず一定値をとると仮定した場合の応答振幅の低減を示すものである。実験値は $m\delta/\rho D^2 = 50$ 付近で非常に大きな値をとり、 $m\delta/\rho D^2 = 100$ 付近で $m\delta/\rho D^2 = 13.8$ の C_L を用いた応答振幅値に接近する傾向が認められる。

(2) 空力的制振対策

(ソフィットプレート C) Fig. 6

曲げ振動では高風速側の応答振幅をかなり抑えており、捩れ振動についても振幅の減少がみられた。従って下面を閉塞し流れを整流することによって、耐風性を向上させるものと考えられる。

(フェアリング D-a, D-b) Fig. 7

D-a では高風速側の曲げ振動の抑制効果がみられたが、低風速側の応答には影響を及ぼさず、逆に捩れ振幅が増大する傾向がみられた。D-b の場合、曲げ・捩れ共に渦動振幅抑制効果はほとんど認められなかつた。

(フラップ F, G) Fig. 8

上部フランプ F にはほとんど渦動振幅抑制効果は認められなかつた。これは迎角 $\alpha = -5^\circ$ によって行下部からの前縁剥離渦が主に振動に寄与しているためと考えられる。下部フランプ G では、曲げ・捩れとも渦動振幅を完全に抑えている。これは行下部での前縁剥離渦の発生・成長を抑えたためと思われる。

(防音壁 H) Fig. 9

防音壁を設置した場合を想定して応答特性を調べてみた。捩れ振動に関しては応答振幅に対する影響は認められなかつたが、曲げ振動の応答振幅を 2 倍近くにまで増大させ、耐風性を極端に悪化させるものと判断される。

4. あとがき

鋼斜張橋に比較し、質量減衰パラメータ $m\delta/\rho D^2$ が大きく耐風性に有利であろうと考えられてきた P-C 斜張橋においても、構造減衰の値によれば渦動振に対する考慮が必要となる可能性を有しているものと思われる。

実験対象断面では、防音壁を設置することによりその耐風性を非常に悪化させるのにに対し、行下部にフランプを設けるのが渦動振幅抑制策として非常に有効であると判断されるが、其の施工性については問題が残されている。

最後に、本研究の遂行にあたり終始御助言を賜り、京都大学工学部松本勝助教授に深く感謝の意を表します。

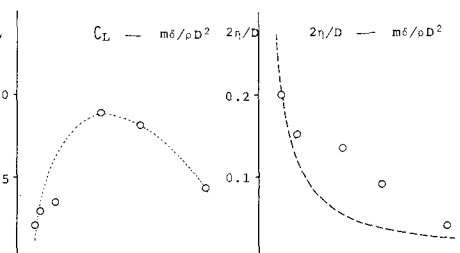


Fig. 4

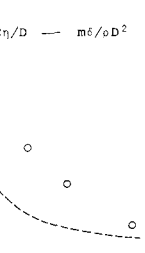


Fig. 5

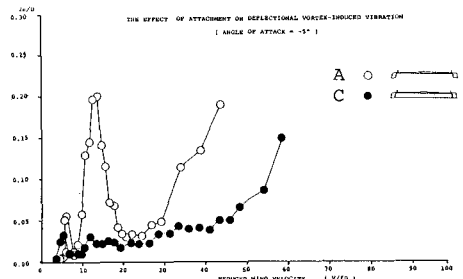


Fig. 6

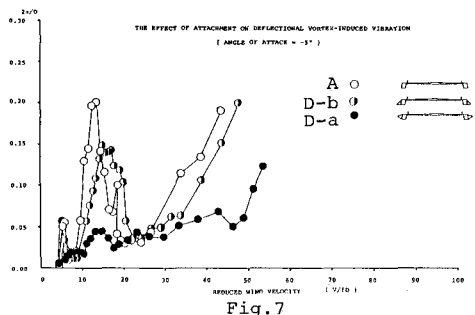


Fig. 7

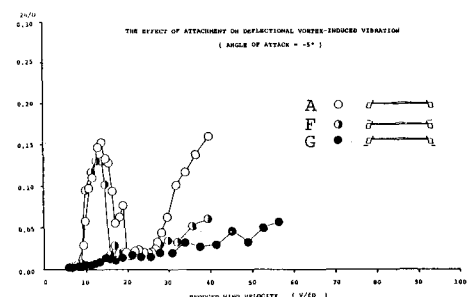


Fig. 8

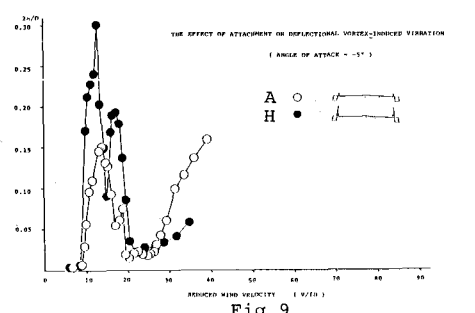


Fig. 9